

**TITOLO** PARAMETRI DI ADONE PER IL FUNZIONAMENTO A DUE FASCI A 1000 MeV

A seguito di una proposta per la misura del fattore di forma del neutrone nella regione time-like alla soglia (cioè circa 1000 MeV per fascio), è stata presa in considerazione la possibilità di riportare Adone al funzionamento a due fasci.

A questo proposito si è cercato di analizzare quei parametri di macchina che risultano più importanti dal punto di vista di un esperimento a due fasci.

Questi sono, ovviamente, la luminosità ottenibile e la lunghezza della sorgente.

## 1. LUMINOSITÀ

La luminosità di un anello di accumulazione, per collisioni frontali e fasci gaussiani identici, è data da:

$$L = \frac{k i_b^2}{e^2 f_0 4\pi \sigma_x^* \sigma_z^*} \quad (1)$$

dove:  $k$  = numero di bunches per fascio,  $i_b$  = corrente per bunch,  $f_0$  = frequenza di rivoluzione (per Adone  $f_0 = 2.86$  MHz),  $\sigma_x^*, \sigma_z^*$  = deviazioni standard delle dimensioni trasverse del fascio al punto di interazione.

Per ogni energia di operazione, a causa del cosiddetto limite di carica spaziale, esiste una corrente massima  $I_{max}$  accumulabile. Se la corrente in un fascio supera  $I_{max}$ , si osserva una crescita della dimensione verticale (flipping) del fascio più debole e la luminosità si riduce a valori trascurabili.

Questo limite fisico si può schematicizzare, nel modello lineare, mediante un parametro  $\xi_{x,z}$ , che misura la forza dell'interazione, e che viene definito da:

$$\frac{4\pi \xi_x}{\beta_x^*} = \frac{2r_e i_b}{e f_0 \gamma \sigma_x^* (\sigma_x^* + \sigma_z^*)} = \frac{\sigma_z^* 4\pi \xi_z}{\sigma_x^* \beta_z^*} \quad (2)$$

dove:  $r_e$  = raggio classico dell'elettrone,  $\beta^*$  = funzione di betatrono all'incrocio,  $\gamma = E/m_e c^2$ .

Questo parametro è inoltre legato allo spostamento del numero d'onda di betatron,  $\delta Q_{x,z}$ , prodotto dall'interazione fascio-fascio:

$$2\pi \xi_{x,z} = \sin(2\pi \delta Q_{x,z}) \{ 1 + \tan(\pi \delta Q_{x,z}) \cot \mu_{x,z} \}$$

dove  $\mu_{x,z}$  è l'avanzamento di fase tra due punti di incrocio vicini. La linearità dell'interazione produce una distribuzione continua in  $Q$ , dal valore imperturbato fino a  $Q + \delta Q$ .

Il parametro di interazione  $\xi$  dipende dal numero d'onda di betatron  $Q$ : avvicinandosi all'intero, multiplo del numero di bunches  $k$ , si ottengono a parità di  $\delta Q$ , dei limiti su  $\xi$  più alti. Questa è la ragione per la cui il modo di operazione di Adone a due fasci, con tre bunches, era  $Q_x = Q_z = [1]$ .

E' possibile, utilizzando le equazioni (1) e (2), esplicitare la dipendenza della luminosità dal parametro  $\xi$ :

$$L = \frac{f_0 k^2 \epsilon_x^* \xi_x \xi_z}{r_p^2 \beta_z^*} \left( 1 + \frac{\xi_x \beta_z^*}{\xi_z \beta_x^*} \right)^2 \quad (3)$$

dove:  $\epsilon_x^* = \pi(\sigma_{xp}^2 + \sigma_{xs}^2)/\beta_x^*$ , che coincide con l'emittanza radiale del fascio quando la dispersione  $D$  è nulla.

Dalla relazione (3) si può dedurre che si ottiene un aumento di luminosità minimizzando  $\beta_z^*$ , che aumentando l'emittanza, nonché operando con i valori massimi ottenibili di  $\xi_x$  e  $\xi_z$ .

Le misure ad Adone [2] mostrano anche, per  $E > 7$  GeV, che pur superando corrente  $I_{max}$ , il flipping non è distruttivo, le dimensioni trasverse vari di poco e la vita media non peggiora.

In questo caso si può perciò tornare nella regione di stabilità muovendo la frequenza di betatron verso la risonanza di accoppiamento (in modo da "cuperare" il flipping).

La massima luminosità si ottiene, data una certa corrente accumulata, uscendo dall'accoppiamento in modo da avvicinarsi senza rassicurarsi il limite fascio. Cioè è anche utile per mantenere la luminosità proporzionale ad  $I^2$  (invece che ad  $I$ ) man mano che la corrente diminuisce.

Per abbassare il  $\beta_z^*$  si è pensato di utilizzare gli alimentatori Ansaldo installati per l'esperimento LELA, in modo da avere quattro famiglie di valori indipendenti: la periodicità in questa configurazione scende da 12 a 4 e così è possibile ottenere dei valori dei  $\beta$  più bassi di quelli normali nelle sezioni di incrocio dei fasci (e quindi aumentare la luminosità), mentre i  $\beta$  risultano più alti di quelli normali nelle altre sezioni, lasciando approssimativamente invariato il loro valore medio, che determina le frequenze betatron.

L'ottica calcolata ha gli stessi  $Q$  dell'ottica normalmente usata per il funzionamento attuale di Adone ad un fascio:  $Q_x = Q_z = 3.10$ .

E' perciò possibile iniettare nella configurazione normale e poi condurre la macchina ai valori di  $\beta_x$  e  $\beta_z$  calcolati, senza incontrare risonanze.

L'ottica "low- $\beta$ " studiata ha  $\beta_x^* = 4.5$  m e  $\beta_z^* = 1$  m, avendo posto come condizione che il  $\beta_{max}$  in tutta la macchina non superi i 20 m.

Il basso  $\beta_z^*$  ha inoltre il vantaggio di ridurre l'ampiezza di betatron verticale proprio nei punti di incrocio, dove, nelle sezioni 9 e 11, l'apertura verticale della ciambella è stata ridotta, a causa del wiggler e dell'ondulator.

I parametri di questa ottica sono riportati nella Tabella I, e le relative funzioni ottiche nelle Fiss. 1 e 2. Per confronto, in Tabella II e Fiss. 3 è riportata la struttura normale a due famiglie.

I gradienti quadrupolari richiesti differiscono da quelli della configurazione a due famiglie per non più del ± 10%, e possono essere facilmente raggiunti con gli impianti Ansaldo, che prevedevano gradienti più alti ad un'energia di lavoro minore.

Le misure di luminosità riportate in [3] e [4], danno per la luminosità di picco @ 1000 MeV:

$$L \sim 3.10^{20} \text{ cm}^{-2} \text{ s}^{-1}$$

con una corrente per fascio di 50 mA in tre bunches. Da queste misure e dai

## LABORATORI NAZIONALI DI FRASCATI DELL'INFN

DIVISIONE MACCHINE MEMORANDUM INTERNO

DATA

Gruppo  
e Numero G-55

TITOLO

NOME

I valori delle funzioni ottiche riportati in Tabella II, si possono calcolare i valori limite del parametro di interazione  $\xi$  per il punto (3.1, 3.1), con un'accoppiamento  $\epsilon^2 = .17$ :

$$\xi_x = .038 \quad , \quad \xi_z = .073$$

da cui:

$$\delta Q_x = .023 \quad , \quad \delta Q_z = .036$$

Se si suppone di lavorare con la nuova struttura low- $\beta$ , di avere gli stessi limiti per  $\xi_{x,z}$  e lo stesso accoppiamento, la corrente accumulabile salirebbe, in teoria, a  $\sim 90$  mA, e la luminosità corrispondente a  $\sim 1.7 \cdot 10^{20} \text{ cm}^{-2}$

Una corrente così elevata sarebbe probabilmente limitata dai problemi di iniezione dei positroni.

Nell'ipotesi di ridurre la corrente accumulabile a 50 mA per fascio, si trebbe, mantenendo gli stessi valori di  $\xi_{x,z}$ , lavorare ad un valore di accoppiamento minore ( $\epsilon^2 = .05$ ), che darebbe una luminosità  $\sim 9 \cdot 10^{20} \text{ cm}^{-2} \text{ s}^{-1}$ .

Poiché inoltre il  $\delta Q$  limite sembra sensibile al numero di bunches, cioè al numero di incroci per siro, (è proporzionale circa a  $\sqrt{3}$ ), si può pensare di operare con un solo bunch, essendo la luminosità proporzionale a  $k$  e la corrente a  $k \xi$ .

In queste condizioni il limite su  $\xi$  sembra però alzarsi, rispetto ai valori per bunches, solo del 20% circa, poiché la vicinanza del  $Q$  all'intero dà una dipendenza di  $\xi$  da  $k$  meno pronunciata, pur alzando la  $\xi$  limite.

Operando con un solo bunch si avrebbe inoltre una riduzione di un fattore 3 sul rate dei cosmici, per l'esperimento.

E' comunque da studiare se l'iniezione con un solo bunch sia compatibile col nuovo inflector del Linac, usato attualmente per iniettare con la 51.4

## 2. LUNGHEZZA DELLA SORGENTE

La lunghezza della sorgente equivalente per l'esperimento è data dalla lunghezza del bunch divisa per  $\sqrt{2}$ , per tener conto della sovrapposizione delle distribuzioni gaussiane dei due fasci.

Per le correnti a cui si può pensare di lavorare si è certamente soprattutto di allungamento anomalo. In queste condizioni la lunghezza del bunch r.m.s. si ricava dal fit [5]:

$$D_e = 41.4 \left( \frac{2\pi i_b}{eV} \right)^{1/3}$$

con  $i_b$  in A,  $V$  in Volt e  $D_e$  in m.

In Tabella III sono riportati i valori r.m.s. calcolati nell'ipotesi di rare a varie correnti per bunch e nelle due configurazioni di RF possibili attualmente: 8.5 MHz ( $h = 3$ ) e 51.4 MHz ( $h = 18$ ).

## LABORATORI NAZIONALI DI FRASCATI DELL'INFN

DIVISIONE MACCHINE MEMORANDUM INTERNO

DATA

Gruppo  
e Numero G-55

NOME

TITOLO

REFERENZE

1 - S.Tazzari, "Beam-beam interactions: a summary of experimental evidence", IEEE NS-28, 1

2 - STazzari, "Beam-beam effects at the 1.5 GeV,  $e^+e^-$  storage ring Adone", Brookhaven 1979

3 - F.Amman et al., " Remarks on two beam behaviour of the 1.5 GeV  $e^+e^-$  storage ring Adone"  
Ginevra 1971.

4 - F.Amman, "Electron and positron storage rings: present situation and future prospects",  
Ginevra 1971.

5 - S.Tazzari, "Scaling dell'allungamento anomalo secondo il modello di Chao-Gareyte", Memo

LABORATORI NAZIONALI DI FRASCATI DELL'INFN  
DIVISIONE MACCHINE MEMORANDUM INTERNO

DATA

Gruppo  
e Numero

G-55

TITOLO

NOME

N	EL	BETAX	BETAZ	PSI	PSI	MUX	MUZ
0	0	8.9995	3.2800	2.0494	0.0000	0.0000	0.0000
1	1	9.1853	3.7897	2.0494	0.0000	.1427	.3755
2	2	7.4829	5.2548	1.8297	-.8106	.2046	.4994
3	1	5.7681	6.8944	1.5898	-.8106	.2497	.5486
4	3	4.2448	8.6343	1.3166	-.2349	.3613	.6152
5	1	3.9790	8.6957	1.2203	-.2349	.4612	.6625
6	4	3.6227	8.8266	1.0662	.0000	.8113	.8116
7	4	3.9763	8.6956	1.2203	.2349	1.1615	.9606
8	1	4.2413	8.6341	1.3166	.2349	1.2615	1.0079
9	3	5.7626	6.8942	1.5899	.8106	1.3732	1.0745
10	1	7.4756	5.2546	1.8298	.8106	1.4184	1.1237
11	2	9.1759	3.7895	2.0495	-.0000	1.4803	1.2476
12	1	8.9900	3.2797	2.0495	-.0000	1.6232	1.6232

ENERGIA = 1.00000 SIGMAP = .38521E-03 D = -.01788  
 ALFAC = .06692 LUNG. TOT. = 104.92799 M = .36408  
 QX TOT. = 3.10001 QZ TOT. = 3.10000  
 CROMATISMO ORIZZONTALE = -1.01493 CROMATISMO VERTICALE = -.97981  
 EMITTANZA ORIZZONTALE = .1080E-06 EMITTANZA VERTICALE = .5402E-07

N	EL	LUNGH.	K <sup>2</sup>	ALFAX	ALFAZ	GAMMAX	GAMMAZ	SIGMAX	SIGMAZ
0	0	0.0000	0.000000	0.0000	0.0000	.1111	.3049	1.2632	.4210
1	1	1.2930	0.000000	-.1437	-.3942	.1111	.3049	1.2711	.4525
2	2	.5320	.771213	3.1074	-2.5572	1.4240	1.4348	1.1425	.5328
3	1	.2960	0.000000	2.6859	-2.9819	1.4240	1.4348	.9991	.6103
4	3	.5320	.757925	.3793	-.0511	.2695	.1161	.8461	.6830
5	1	.4100	0.000000	.2689	-.0988	.2695	.1161	.8068	.6854
6	4	1.3090	.135647	.0005	.0000	.2760	.1133	.7484	.6905
7	4	1.3090	.135647	-.2679	.0988	.2695	.1161	.8066	.6854
8	1	.4100	0.000000	-.3784	.0512	.2695	.1161	.8459	.6830
9	3	.5320	.757947	-2.6829	2.9820	1.4226	1.4349	.9989	.6103
10	1	.2960	0.000000	-3.1040	2.5573	1.4226	1.4349	1.1422	.5328
11	2	.5320	.771237	.1438	.3942	.1112	.3049	1.2707	.4525
12	1	1.2930	0.000000	-.0000	.0000	.1112	.3049	1.2628	.4209

TABELLA I

- Parametri della struttura normale -

TITOLO

NOME

## ADONE NORMALE - FUNZIONI OTTICHE

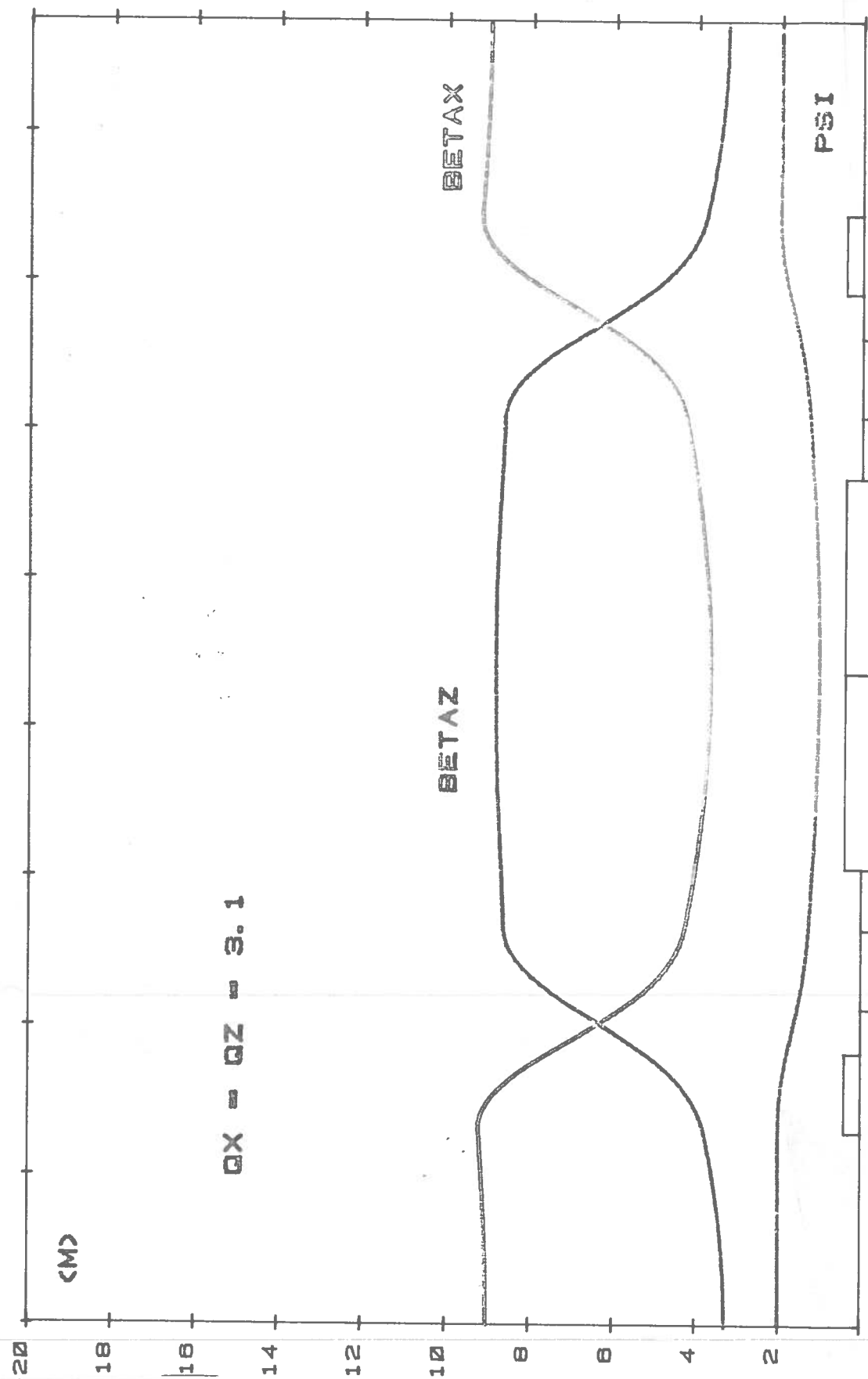


Fig. 1

TITOLO

NOME

## ADONE NORMALE - DIMENSIONI DEI FASCI

 $\text{Q}_X = \text{Q}_Z = 3.1$  $E = 1 \text{ GEV}$ 

&lt;MM&gt;

2.0

1.8

1.6

1.4

1.2

1.0

0.8

0.6

0.4

0.2

SIGMAX

SIGMAZ

Fig. 2

## LABORATORI NAZIONALI DI FRASCATI DELL'INFN

DIVISIONE MACCHINE MEMORANDUM INTERNO

DATA

Gruppo  
e Numero

G-55

TITOLO

NOME

N	EL	BETAX	BETAY	P61	P62	P63	MU1	MU2
0	0	4.5209	1.0001	2.1256	0.0000	0.0000	0.0000	0.0000
1	1	4.8907	2.6718	2.1256	0.0000	.2786	.9124	
2	2	4.1500	5.2532	1.8818	-.8986	.3923	1.0606	
3	1	3.2948	7.8555	1.6158	-.8986	.4725	1.1067	
4	3	2.7634	11.3198	1.3159	-.2511	.6570	1.1609	
5	1	3.0278	12.2747	1.2130	-.2511	.7992	1.1957	
6	4	4.6116	15.2429	1.0378	-.0158	1.1551	1.2909	
7	4	7.1089	17.5562	1.1718	.2200	1.3845	1.3705	
8	1	8.0559	18.1539	1.2620	.2200	1.4388	1.3935	
9	3	11.2988	15.5510	1.5081	.7203	1.4964	1.4242	
10	1	14.6413	12.5686	1.7213	.7203	1.5194	1.4453	
11	2	18.0454	10.1334	1.9163	-.0000	1.5510	1.4941	
12	1	17.9523	9.9656	1.9163	-.0000	1.6229	1.6232	

ENERGIA = 1.00000 SIGMAP = .38516E-03 D = -.01743  
 ALFAC = .06523 LUNG. TOT. = 104.92799 M = .47223  
 QX TOT. = 3.09954 QZ TOT. = 3.10002  
 CROMATISMO ORIZZONTALE = -1.24463 CROMATISMO VERTICALE = -1.67773  
 EMITTANZA ORIZZONTALE = .1401E-06 EMITTANZA VERTICALE = .7006E-07

N	EL	LUNG.	K2	ALFAX	ALFAZ	GAMMAX	GAMMAZ	SIGMAX	SIGMAZ
0	0	0.0000	0.0000000	0.0000	0.0000	.2212	.9999	1.1418	.264
1	1	1.2930	0.0000000	-.2860	-1.2929	.2212	.9999	1.1643	.432
2	2	.5320	.826521	1.5680	-3.9320	.8334	3.1335	1.0520	.606
3	1	.2960	0.000000	1.3213	-4.8596	.8334	3.1335	.9214	.741
4	3	.5320	.846821	-.2439	-1.1236	.3834	.1999	.8025	.890
5	1	.4100	0.000000	-.4011	-1.2055	.3834	.1999	.8016	.927
6	4	1.3090	.135647	-.7960	-1.0340	.3543	.1357	.8977	1.033
7	4	1.3090	.135647	-1.0917	-.7113	.3083	.0858	1.0953	1.1091
8	1	.4100	0.000000	-1.2181	-.7465	.3083	.0858	1.1683	1.127
9	3	.5320	.690013	-5.2694	5.3164	2.5460	1.8818	1.3858	1.043
10	1	.2960	0.000000	-6.0230	4.7593	2.5460	1.8818	1.5783	.938
11	2	.5320	.731536	.0720	.1297	.0557	.1003	1.7530	.842
12	1	1.2930	0.000000	-.0000	.0000	.0557	.1003	1.7493	.835

TABELLA II

- Parametri della struttura low- $\beta$  -

TITOLO

NOME

## ADONE CON 4 FAMIGLIE DI QUADRUPOLI - DIMENSIONI DEI FASCI

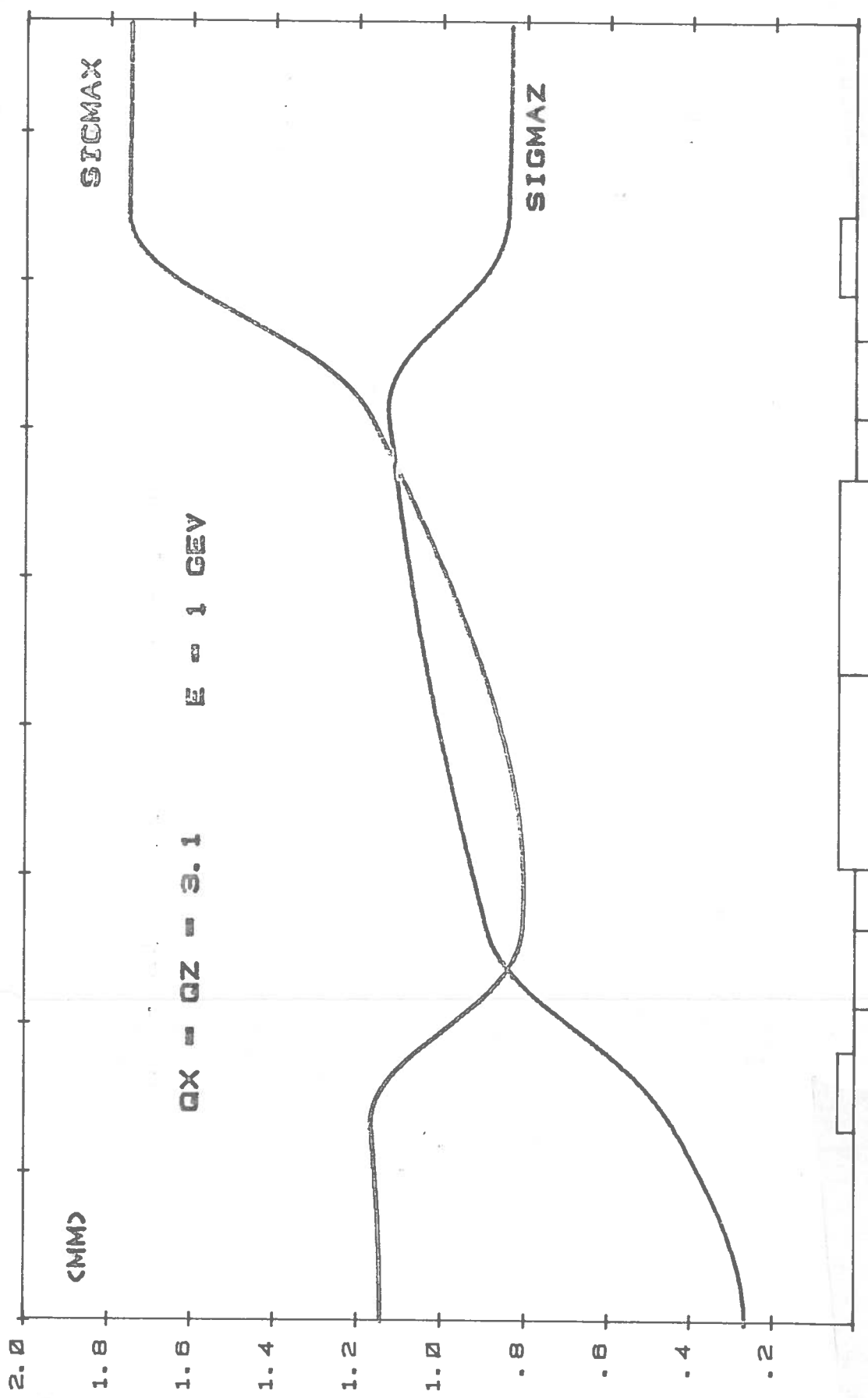


Fig. 3

TITOLO

NOME

## ADONE CON 4 FAMIGLIE DI QUADRUPOLI - FUNZIONI OTTICHE

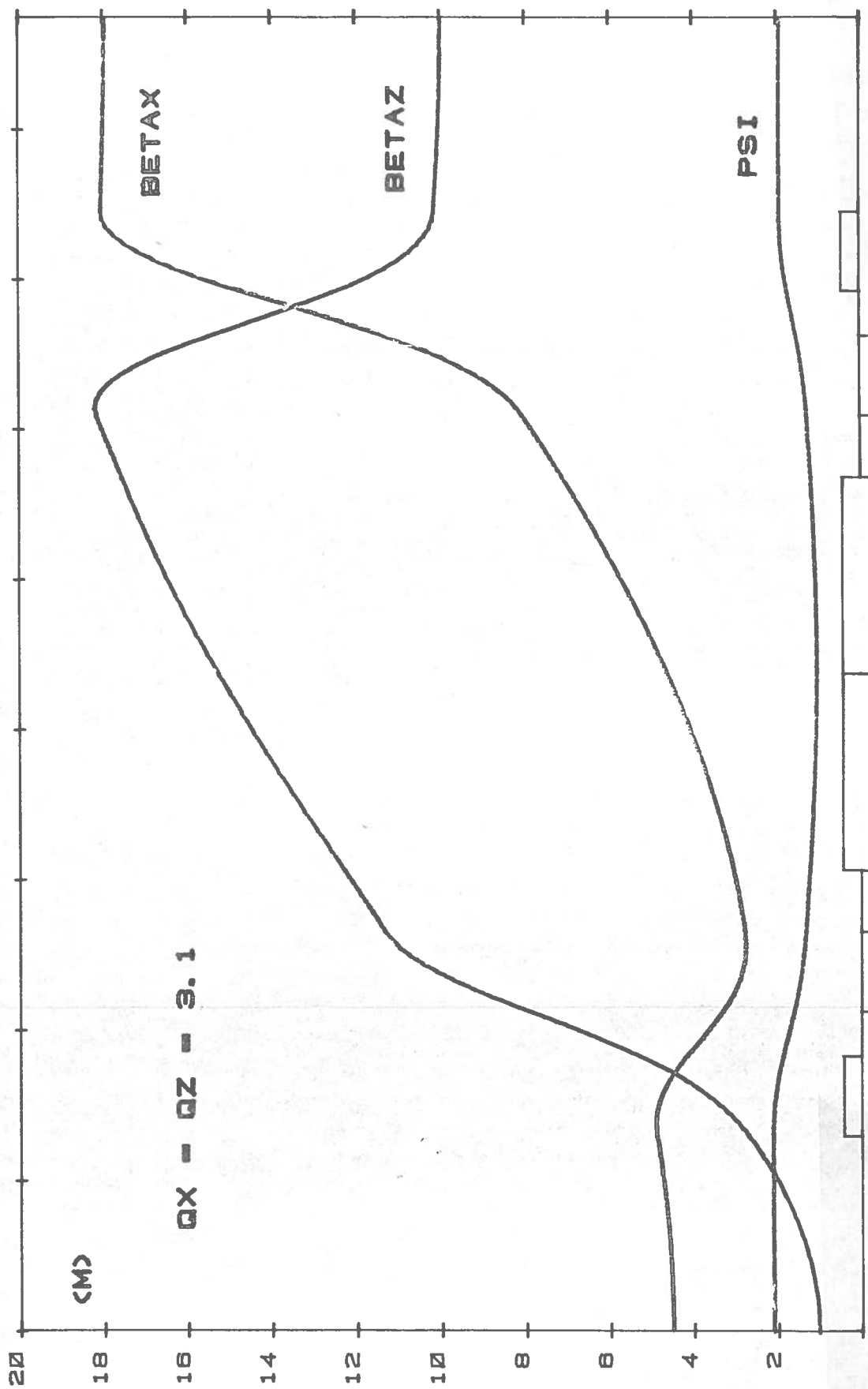


Fig. 4

## LABORATORI NAZIONALI DI FRASCATI DELL'INFN

DIVISIONE

- MEMORANDUM INTERNO

DATA

Gruppo  
e Numero

G-55

TITOLO

NOME

$i_b$ (mA)	$F_{rf}$ (MHz)	h	$V_{rf}$ (V)	$\sigma_e$ (cm)	$\sigma_e / \sqrt{2}$ (cm)
17	8.5	3	70	33	23
	51.4	18	200	13	9
30	8.5	3	70	40	28
	51.4	18	200	16	11
55	8.5	3	70	49	35
	51.4	18	200	20	14

Tabella III